

14.4. Spin Resonanz: Spin im konstanten + dem transversalen zeitabhängigen Magnetfeld 61

Spin Resonanz Experimente: sehr wichtig, weit verbreitet, Anwendungen in Physik, Chemie, Medizin etc.
(sowohl Elektronen- wie auch Kernspin)

- mindestens dasselbe Setup: i) zeitlich konstantes, räumlich homogenes Magnetfeld $\parallel \hat{z}$
ii) harmonisches, magnetisches Wechselfeld in xy-Ebene

Führt zu Umbiegung / Rotations Phänomenen des e-/p Spins

$$\vec{B} = \vec{B}_0 + \vec{B}^S(t) \quad \text{mit} \quad (14.77)$$

$$\vec{B}_0 = \begin{pmatrix} 0 \\ 0 \\ B_z \end{pmatrix} \quad \vec{B}^S(t) = (B_x^S(t), B_y^S(t), 0) \quad (14.78, 79)$$

Wechselfeld; können nicht erwarten, dass Spin immer nach oben/unten zeigt \rightarrow
Zeitabhängige Übergänge, zeitabhängige Schrödinger-Gleichung: allgemein auf:

$$|S\rangle = C_1(t)|\uparrow\rangle + C_2(t)|\downarrow\rangle = \begin{pmatrix} C_1(t) \\ C_2(t) \end{pmatrix} \quad (14.80)$$

Selbe in zeitabh. Schrödinger \rightarrow

$$M_B \begin{pmatrix} B_z & B_x^S - iB_y^S \\ B_x^S + iB_y^S & -B_z \end{pmatrix} \begin{pmatrix} C_1 \\ C_2 \end{pmatrix} = i\hbar \begin{pmatrix} \dot{C}_1 \\ \dot{C}_2 \end{pmatrix} \quad (14.81)$$

$$\text{ausmultipliziert: } (\frac{1}{2}\hbar\omega_0)C_1 + M_B(B_x^S - iB_y^S)C_2 = i\hbar\dot{C}_1 \quad (14.82)$$

$$M_B(B_x^S + iB_y^S)C_1 - \frac{1}{2}\hbar\omega_0C_2 = i\hbar\dot{C}_2 \quad (14.83)$$

mit der Definition

$$\hbar\omega_0 = 2\mu_B B_z \quad (14.84)$$

nehmen an

$$\begin{aligned} B_x^S &= F \cos(\omega t) \\ B_y^S &= F \sin(\omega t) \end{aligned} \quad (14.85)$$

$$\text{in (82),(83) einsetzen, verwenden } B_x^S \pm iB_y^S = F(\cos(\omega t) \pm i\sin(\omega t)) = Fe^{\pm i\omega t} \quad (14.86)$$

$$\Rightarrow (\hbar\omega_0/2)C_1 + M_B F e^{-i\omega t} C_2 = i\hbar\dot{C}_1 \quad (14.87)$$

$$M_B F e^{i\omega t} C_1 - (\hbar\omega_0/2) C_2 = i\hbar\dot{C}_2 \quad (14.88)$$

$$\text{Ausatz: } \left. \begin{aligned} c_1(t) &= d_1(t) e^{-i\omega_0 t/2} \\ c_2(t) &= d_2(t) e^{+i\omega_0 t/2} \end{aligned} \right\} \quad (14.89)$$

$$\rightarrow i\hbar \dot{c}_1 = (\hbar\omega_0/2)c_1 + i\hbar \dot{d}_1 e^{-i\omega_0 t/2}, \text{ analog } c_2 \quad (14.90)$$

einsetzen in (87, 88), $(\hbar\omega_0/2)c_i$ hebt sich auf, analog $c_2 \Rightarrow$

$$\mu_B F e^{-i(\omega-\omega_0)t} d_2 = i\hbar \dot{d}_1 \quad (14.91)$$

$$\mu_B F e^{i(\omega-\omega_0)t} d_1 = i\hbar \dot{d}_2 \quad (14.92)$$

zur Vereinfachung wählen wir $\omega = \omega_0$ (Resonanzbedingung) \Rightarrow (14.93)

$$\mu_B F d_2 = i\hbar \dot{d}_1 \quad (14.94)$$

$$\mu_B F d_1 = i\hbar \dot{d}_2 \quad (14.95)$$

$$\text{leide (94) ab} \rightarrow \mu_B F \ddot{d}_2 = i\hbar \ddot{d}_1, \text{ einsetzen (95)} \quad (14.96)$$

$$\Rightarrow \ddot{d}_1 + \frac{\mu_B^2 F^2}{\hbar^2} d_1 = 0 \quad \text{integrationskonstanten: Anfangsbed.} \quad (14.97)$$

$$\text{definition } \mathcal{R} = \frac{\mu_B F}{\hbar} \Rightarrow d_1 = a \sin(\mathcal{R}t + \phi) \quad \text{mit (94)} \Rightarrow \quad (14.98)$$

$$\text{"Rabi Frequency"} \quad d_2 = i a \cos(\mathcal{R}t + \phi) \quad (14.99)$$

$$\text{Anfangsbed. } d_1(0) = 0 \Rightarrow \phi = 0$$

$$\text{Normierung} \Rightarrow a = 1 \quad (|d_1|^2 + |d_2|^2 = a^2 \underbrace{\{\sin^2(\mathcal{R}t) + \cos^2(\mathcal{R}t)\}}_{=1} = 1)$$

$$\Rightarrow |S\rangle = \underbrace{\sin(\mathcal{R}t) e^{-i\omega_0 t/2}}_{\alpha} |\uparrow\rangle + \underbrace{i \cos(\mathcal{R}t) e^{+i\omega_0 t/2}}_{\beta} |\downarrow\rangle \quad (14.100)$$

d.h. Zustandsbeschreibung oszilliert zwischen $|\uparrow\rangle$ und $|\downarrow\rangle$. Auch erreichlich aus Erwartungswerten der Spin Operatoren $\langle \hat{S}_x \rangle, \langle \hat{S}_y \rangle, \langle \hat{S}_z \rangle$: vgl. mit (14.49) bzw. 14.53

$$\begin{aligned} \langle \hat{S}_z \rangle &= \frac{\hbar}{2} (1 - \beta^2) \\ &= \frac{\hbar}{2} [\sin^2(\mathcal{R}t) - \cos^2(\mathcal{R}t)] = -\frac{\hbar}{2} \cos(2\mathcal{R}t) \end{aligned} \quad (14.102)$$

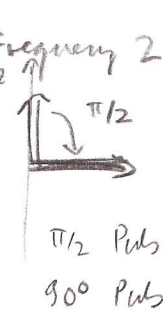
d.h. z -Komponente oszilliert mit Frequency $2\mathcal{R}$ \rightarrow Rabi-Oszillationen

$$t=0: \langle \hat{S}_z \rangle = -\frac{\hbar}{2}$$

$$t=\frac{\pi}{4\mathcal{R}}: \langle \hat{S}_z \rangle = 0$$

$$t=\frac{\pi}{2\mathcal{R}}: \langle \hat{S}_z \rangle = \frac{\hbar}{2}$$

$$t=\frac{3\pi}{4\mathcal{R}}: \langle \hat{S}_z \rangle = 0 \quad \text{etc.}$$



(14.105 - 14.111)

π -Puls \rightarrow schwankendes B-Feld eingeschaltet für Zeit $t < \frac{\pi}{2\mathcal{R}}$

weiter gilt:

$$\langle \hat{\sigma}_x \rangle = -\frac{t}{2} \sin(2\omega t) \sin(\omega_0 t) \quad (14.103)$$

$$\langle \hat{\sigma}_y \rangle = \frac{t}{2} \sin(2\omega t) \cos(\omega_0 t) \quad (14.104)$$

d.h. in x-y Ebene, einerseits schnelle Kreisbewegung mit Frequency ω_0 , andererseits Modulation mit $\sin(2\omega t)$, d.h. 90° Phasenverschieben mit z-Komponente, i.e. xy Komponenten maximal genau wenn z-Komponente 0 und umgekehrt.

Der Vektor $\langle \vec{\sigma} \rangle = \begin{pmatrix} \langle \hat{\sigma}_x \rangle \\ \langle \hat{\sigma}_y \rangle \\ \langle \hat{\sigma}_z \rangle \end{pmatrix}$ rotiert/präzidiert um z-Achse mit ω_0 und oszilliert

simultan von +z zu -z und zurück mit 2ω .

Spin Frequency B-Frequency

Resonanz weil $\omega_0 = \omega$

Dies ist das Grundprinzip von Spinresonanz: durch anlegen eines harmonischen, zeitabhängigen B-Feldes transversal zu einem statischen B-Feld im Resonanz $\omega_0 > \omega$ kann man den Spins kontrolliert rotieren/manipulieren.

Experimente / Praxis: B-Feld oszilliert entlang fixer Achse (x oder y oder x-y-oder...) und rotiert nicht. Kann man auf den rotierenden Fall zurückführen: B oszilliert entlang fixer Achse = Überlagerung von zwei in entgegengesetzten Richtungen rotierenden B-Feldern, eins läuft mit Spin mit, das andere umläuft mit doppelter Frequenz (von Ruhesystem des Spins aus gesehen) \rightarrow analoge Gleichungen wie hier, aber mit variablen oszillierenden Zusatztermen (vom doppelt so schnell aber entgegengesetzt rotierenden B-Feld), den man in guter Näherung vernachlässigen kann! „rotating wave approximation“

14.5. Blochsche Gleichungen

64

Können man nicht direkt Gleichungen für die Erwartungswerte $\langle \hat{S}_x \rangle, \langle \hat{S}_y \rangle, \langle \hat{S}_z \rangle$ der Spin-Komponenten herleiten? Ja \rightarrow Blochsche Gleichungen!

aus (14.103) folgt:

$$\frac{d}{dt} \langle \hat{S}_x \rangle = -\frac{\hbar}{2} \underbrace{2\sqrt{2} \cos(2\omega_0 t) \sin(\omega_0 t)}_{\propto \langle \hat{S}_z \rangle} - \underbrace{\frac{\hbar}{2} \omega_0 \sin(2\omega_0 t) \cos(\omega_0 t)}_{\propto \langle \hat{S}_y \rangle} \quad (14.112)$$

$$= \frac{2}{\hbar} \mu_B F \underbrace{\sin(\omega_0 t)}_{\substack{\downarrow \\ = \frac{e\hbar}{2m_e} B_y}} \langle \hat{S}_z \rangle - \underbrace{\omega_0 \langle \hat{S}_y \rangle}_{\propto B_z} \quad (14.113)$$

$$(t\omega_0 = 2\mu_B E_z = 2 \frac{e\hbar}{2m_e} B_z)$$

$$= \frac{e}{m_e} B_y \langle \hat{S}_z \rangle - \frac{e}{m_0} B_z \langle \hat{S}_y \rangle \quad (14.114)$$

analog findet man

$$\frac{d}{dt} \langle \hat{S}_y \rangle = -\frac{e}{m_0} B_x \langle \hat{S}_z \rangle + \frac{e}{m_0} B_z \langle \hat{S}_x \rangle \quad (14.115)$$

$$\frac{d}{dt} \langle \hat{S}_z \rangle = \frac{\hbar}{2} 2\sqrt{2} \sin(2\omega_0 t) \quad = 1 \quad (14.116)$$

$$= \hbar \sqrt{2} \sin(2\omega_0 t) \left\{ \underbrace{\sin(\omega_0 t) \sin(\omega_0 t) + \cos(\omega_0 t) \cos(\omega_0 t)}_{=1} \right\} \quad (14.117)$$

$$= -\frac{e}{m} B_y \langle \hat{S}_x \rangle + \frac{e}{m_0} B_x \langle \hat{S}_y \rangle \quad (14.118)$$

Zusammenfassend erhält man:

$$\boxed{\frac{d}{dt} \langle \hat{S} \rangle = \vec{\mu} \wedge \vec{B}}$$

(analog Kreisel mit Drehimpuls \vec{s} und Drehmoment \vec{B})

(14.120)

$$\hat{S} = \begin{pmatrix} \hat{S}_x \\ \hat{S}_y \\ \hat{S}_z \end{pmatrix}$$

(14.121)

mit

$$\vec{\mu} = -\frac{e}{m_0} \langle \hat{S} \rangle$$

(14.122)

für ein abgeschlossenes System genügt (14.120) zur Beschreibung des Spins.

Häufig ist aber der Spin an Freiheitsgraden in seiner Umgebung gekoppelt, z.B. Gitterschwingungen etc., so dass die Präzession nicht gleichzeitig erfasst. Dann genügt (14.120) nicht, sondern man muss Umgebung mit einbeziehen. Umgebung bewirkt zufällige Phasenverschiebungen (Kicks), so dass z.B. $\langle \hat{S}_x \rangle$ nicht mehr nur ein

Wert ist, sondern eine Verteilung wird, die mit zunehmender Zeit immer breiter wird und im Mittel $\langle \hat{S}_z \rangle$ nach genügend langer Zeit gegen Null geht.

→ Man führt Zusatzkerne in (14.120) ein, die dieses inkohärente Verhalten herabsetzen:

$$\hookrightarrow \langle \hat{S}_z \rangle \xrightarrow{\text{Mittel}} 0$$

$$\frac{d}{dt} \langle \hat{S}_x \rangle_{\text{inkohärent}} = -\frac{1}{T_2} \langle \hat{S}_x \rangle \quad (14.123)$$

$$\frac{d}{dt} \langle \hat{S}_y \rangle_{\text{inkohärent}} = -\frac{1}{T_2} \langle \hat{S}_y \rangle \quad (14.124)$$

da x und y eine gleichwertige Rolle spielen, nicht aber z : diese Richtung ist speziell, da sie entlang dem externen Feld ist.

T_2 : transversale Relaxationszeit (Abklingzeit oder Kohärenzzeit)

(weil Spins um z -Achse präzessieren geben 123,124 an, wie schnell die zu orthogonalen (= transversalen) Komponenten abklingen / dekohären)

T_2 ist Maß dafür, wie schnell Spins ausser Phase geraten

(entweder ein Ensemble von Spins oder ein einziger Spin der viele Male gewendet und die Messung gemittelt wird)

z -Richtung speziell: korret Energie: durch Relaxation (Übergang $|1\rangle \rightarrow |0\rangle$) kann Spin Energie abgeben und vermischen ein thermodynamisches Gleichgewicht.
 $(\#|1\rangle = e^{-E_{10}/kT} \#|0\rangle) \rightarrow \underline{\text{longitudinale Relaxation } T_1}$ (Relaxationszeit)

$$\frac{d}{dt} \langle \hat{S}_z \rangle_{\text{inkohärent}} = \frac{s_0 - \langle \hat{S}_z \rangle}{T_1} \quad s_0: \text{Wert von } \langle \hat{S}_z \rangle \text{ im td. GGW} \quad (14.125)$$

→ Blochsche Gleichungen

$$\boxed{\frac{d}{dt} \langle \hat{S} \rangle = -\frac{\epsilon}{m_0} \langle \hat{S} \rangle \times \vec{B} + \begin{pmatrix} -\frac{1}{T_2} \langle \hat{S}_x \rangle \\ -\frac{1}{T_2} \langle \hat{S}_y \rangle \\ \frac{s_0 - \langle \hat{S}_z \rangle}{T_1} \end{pmatrix}} \quad (14.126)$$

T_1, T_2 : Maß für Stärke der Ankopplung der Spins an Umgebung
 → Messung $T_1, T_2 \rightarrow$ Rückschlüsse auf Vorgänge in Umgebung